

FIG. 1

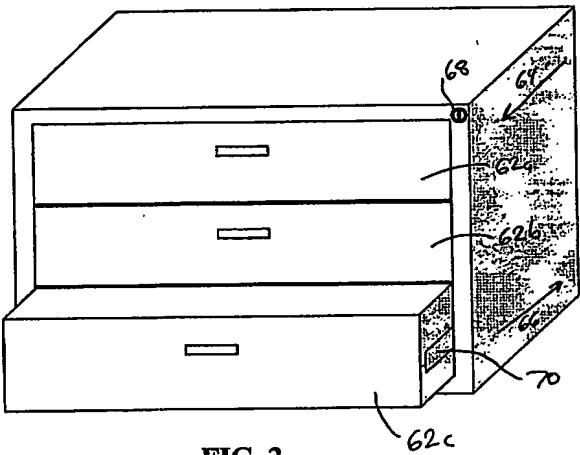


FIG. 2

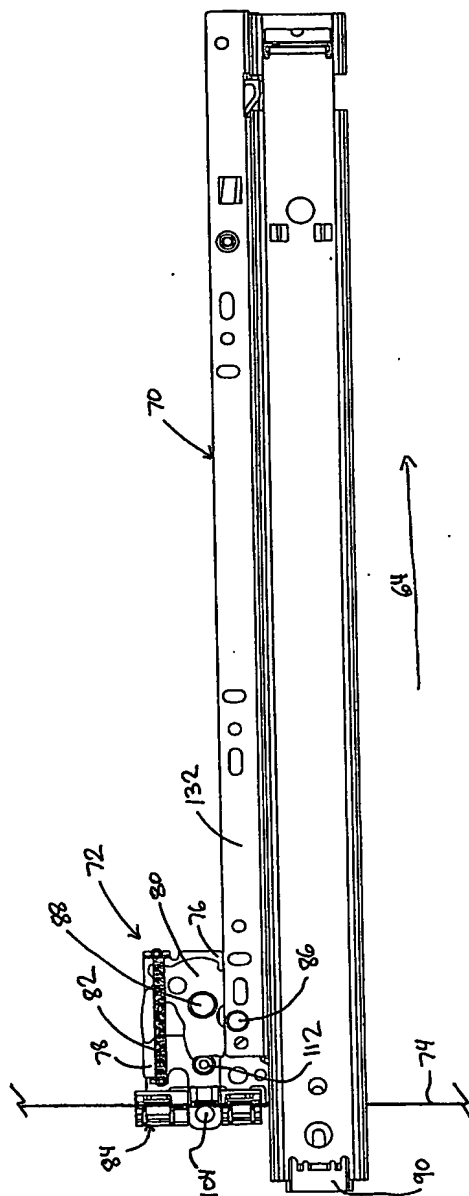
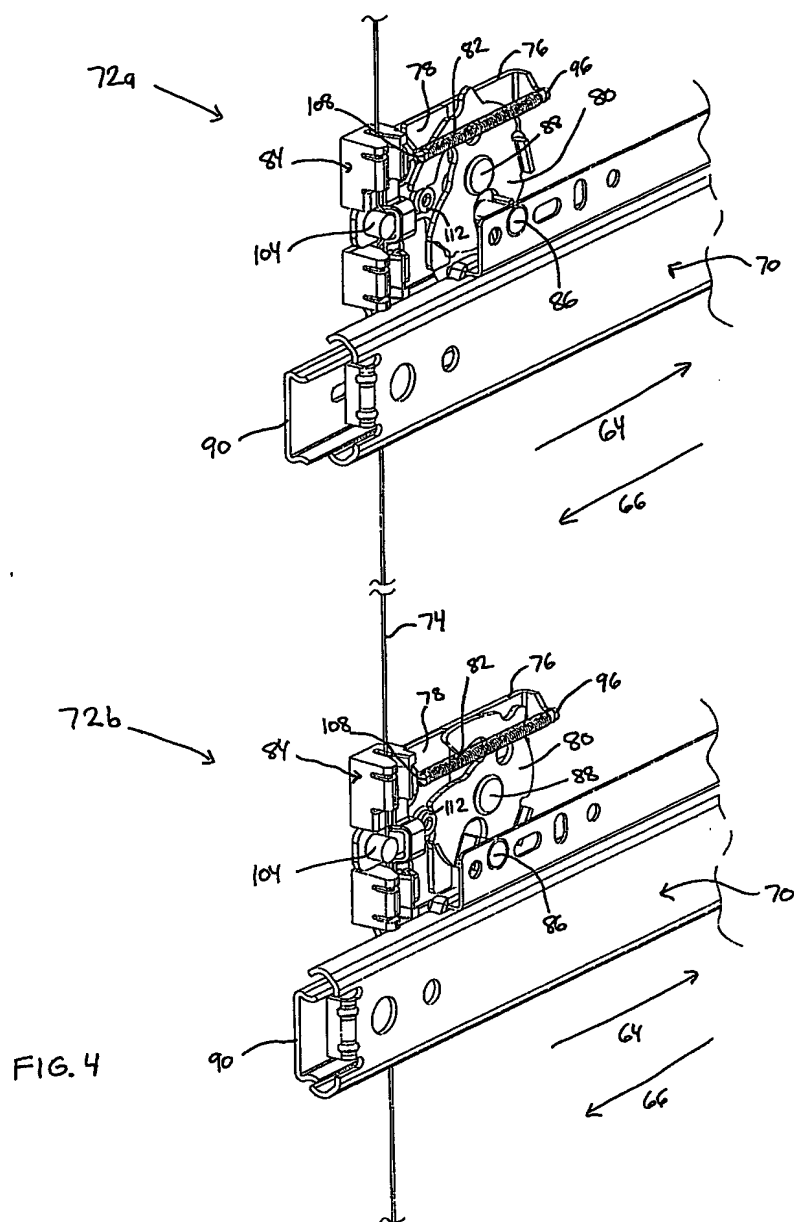
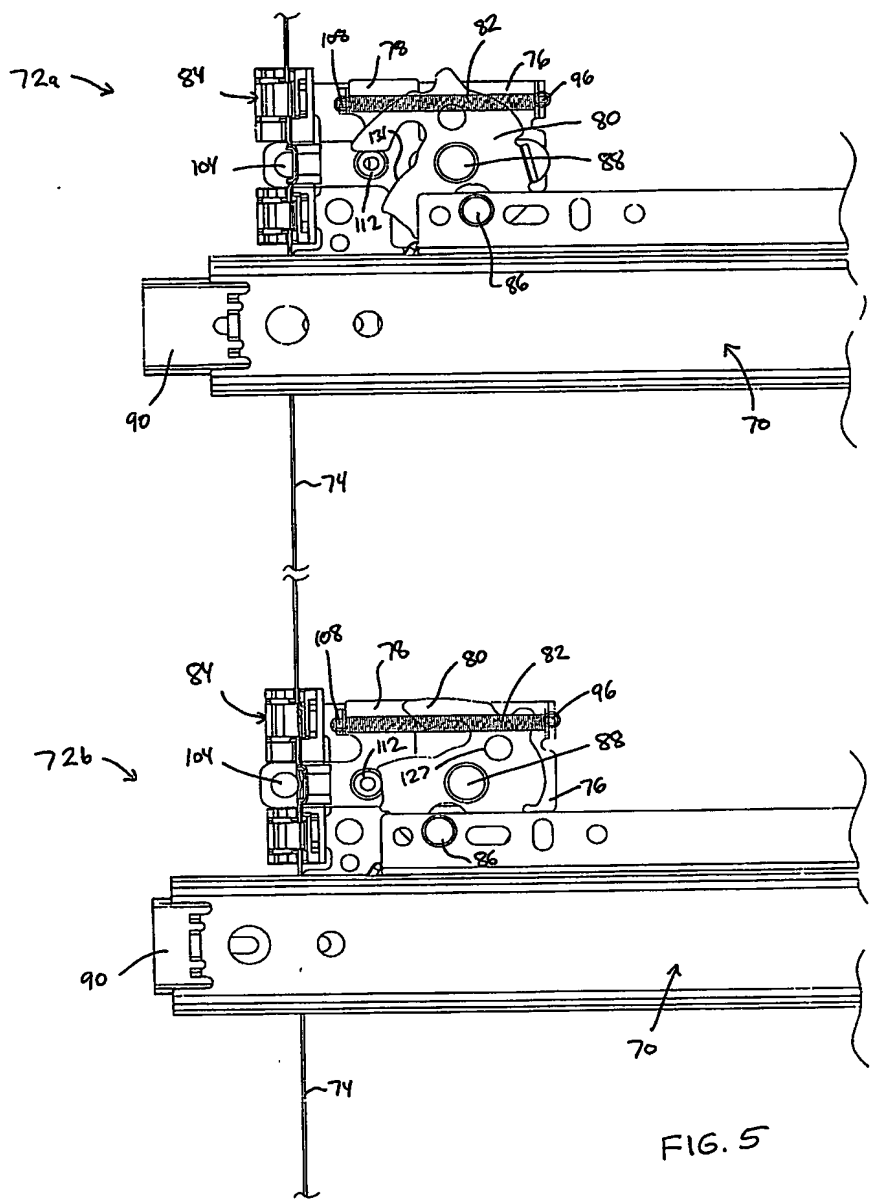


FIG. 3





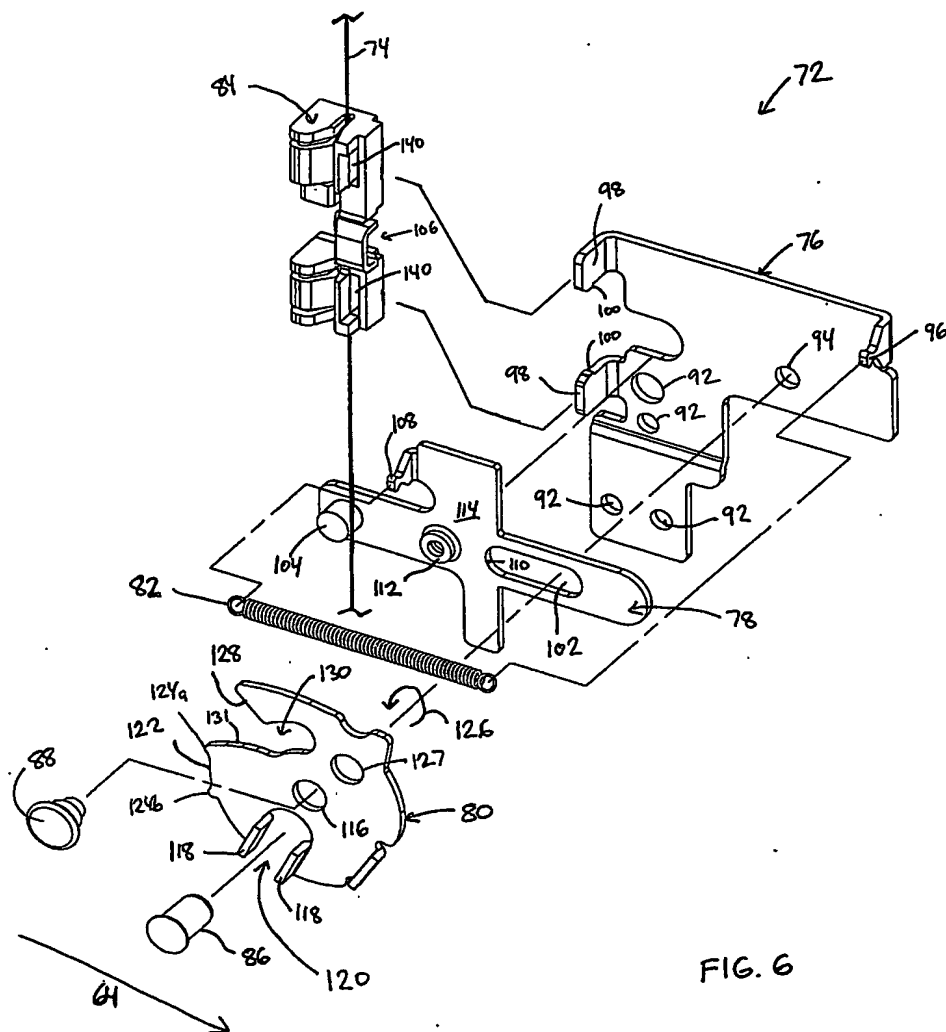


FIG. 6

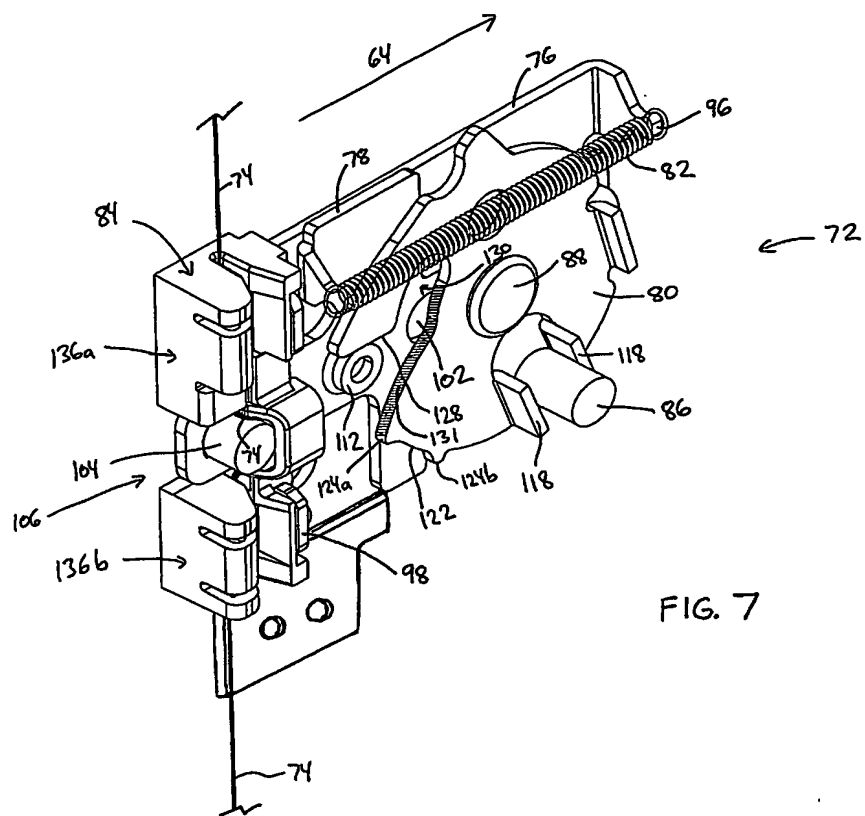


FIG. 7

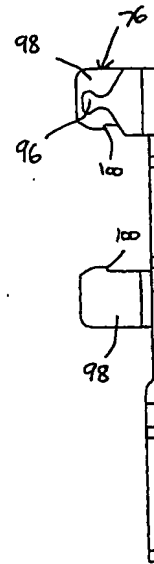
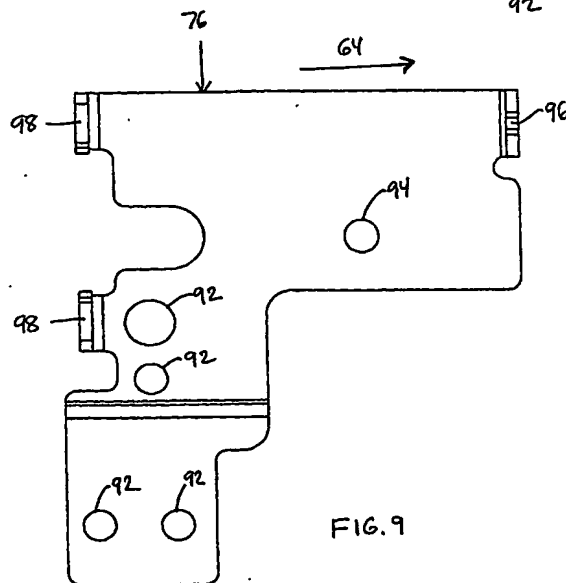
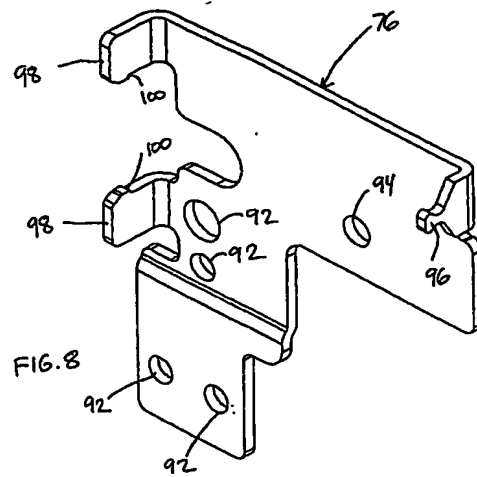
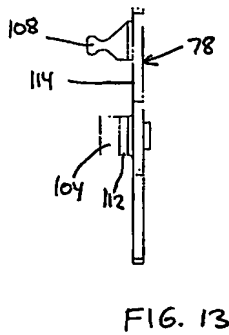
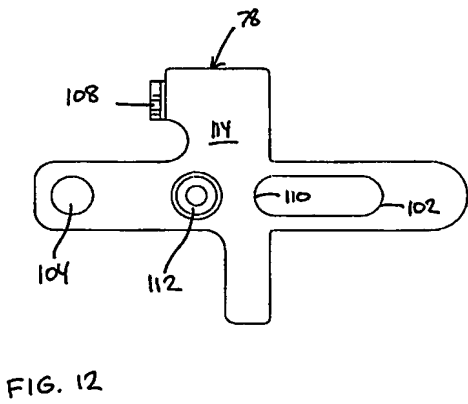
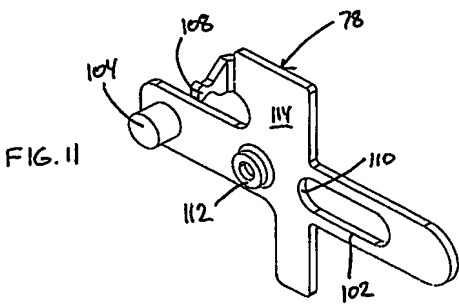
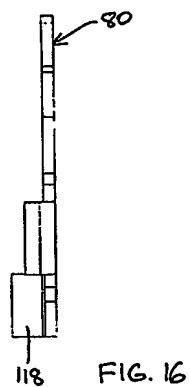
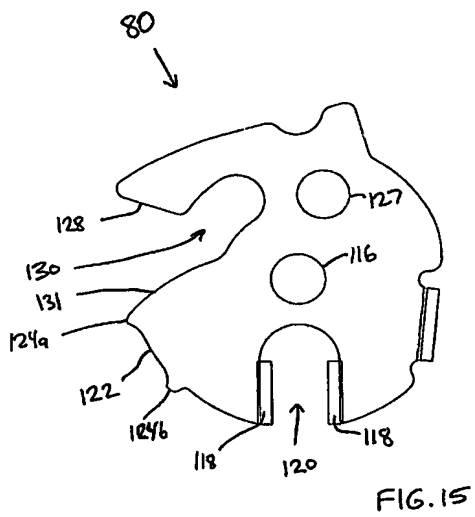
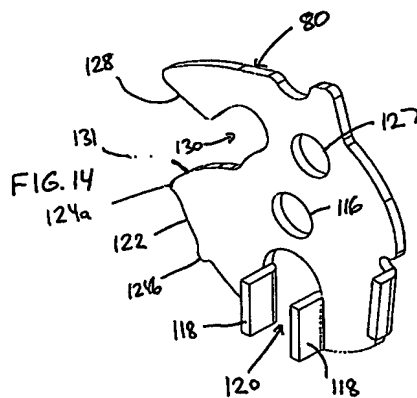
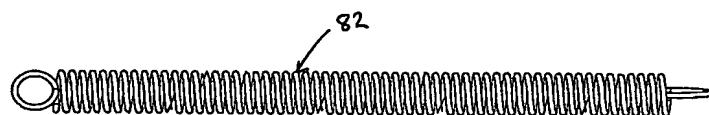
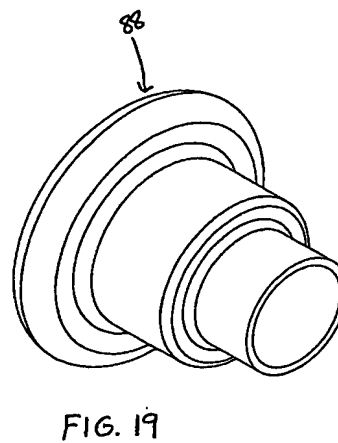
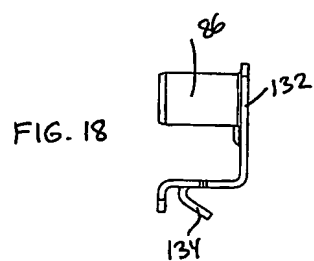
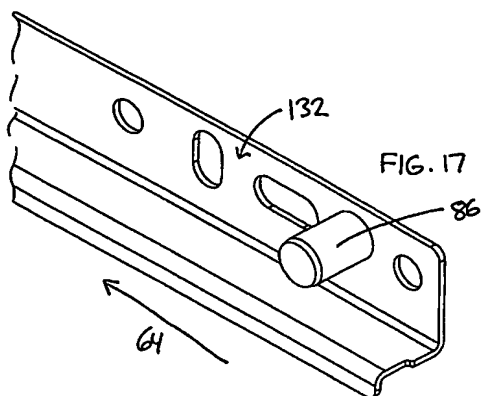


FIG. 9

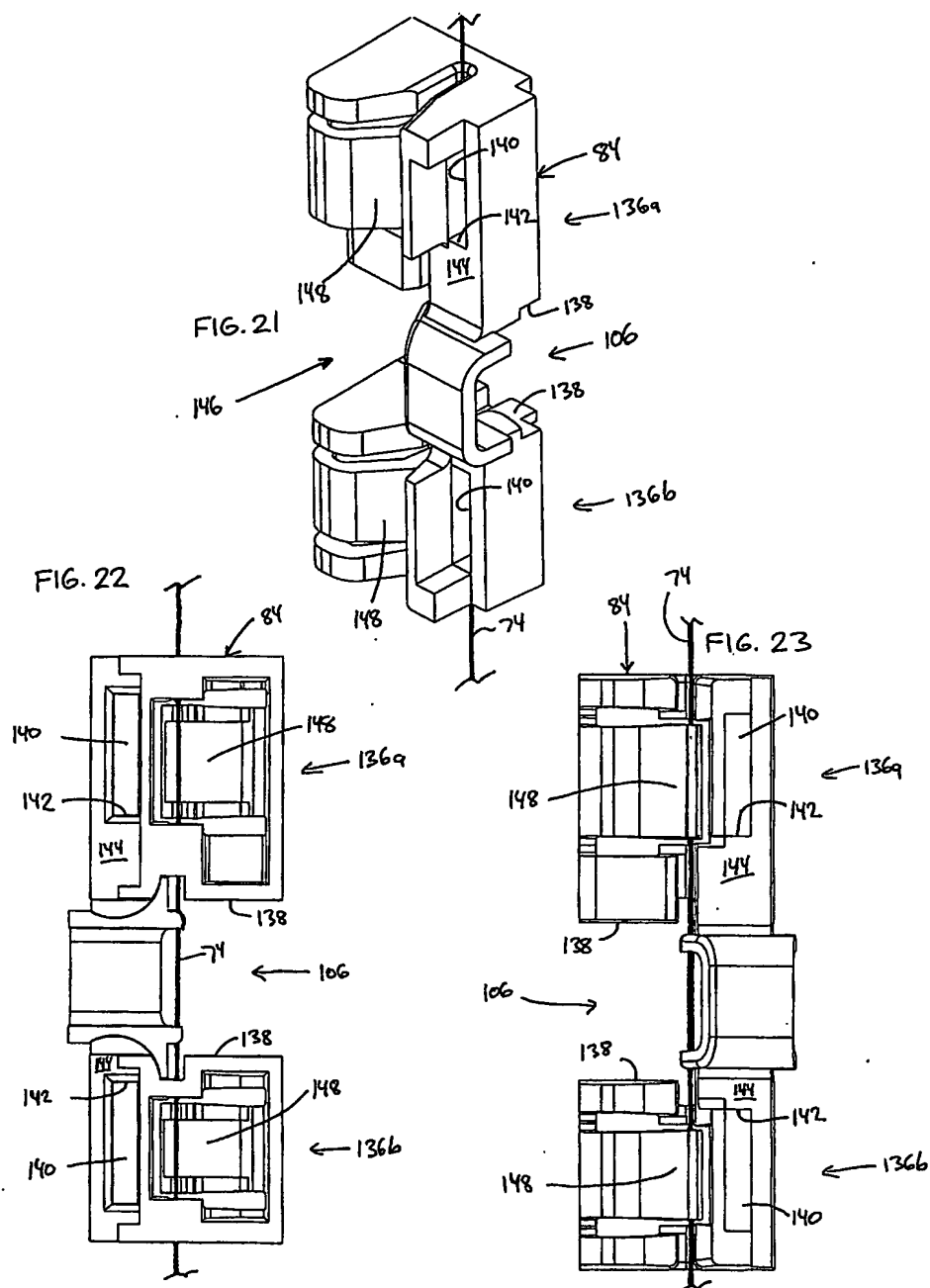
FIG. 10

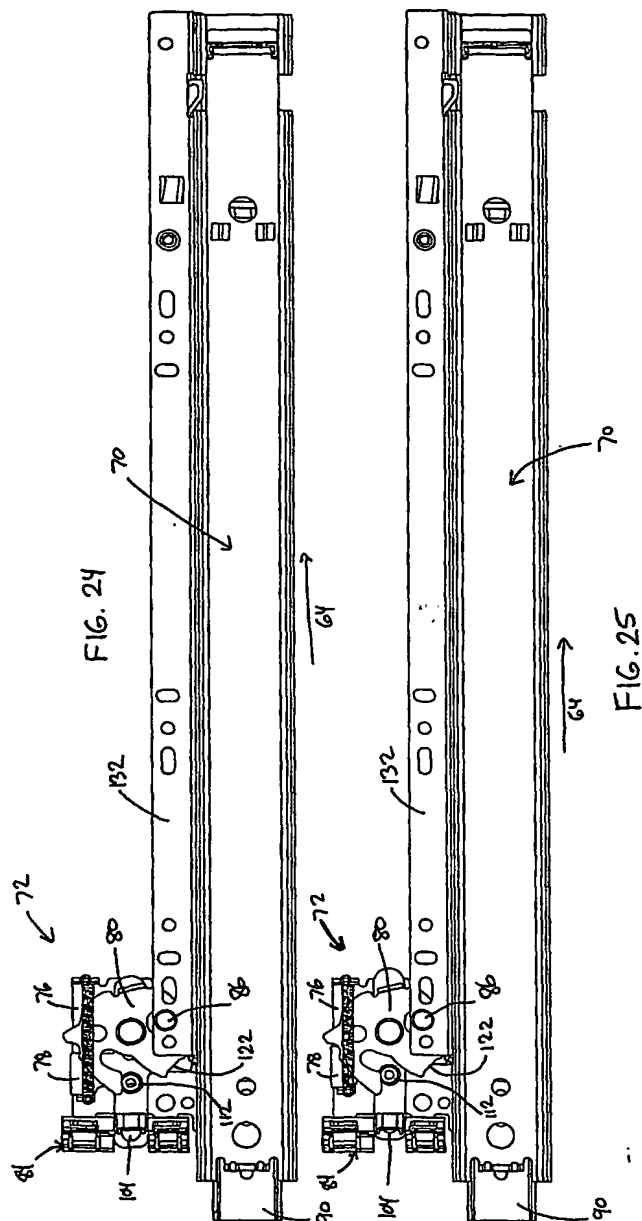






11/29





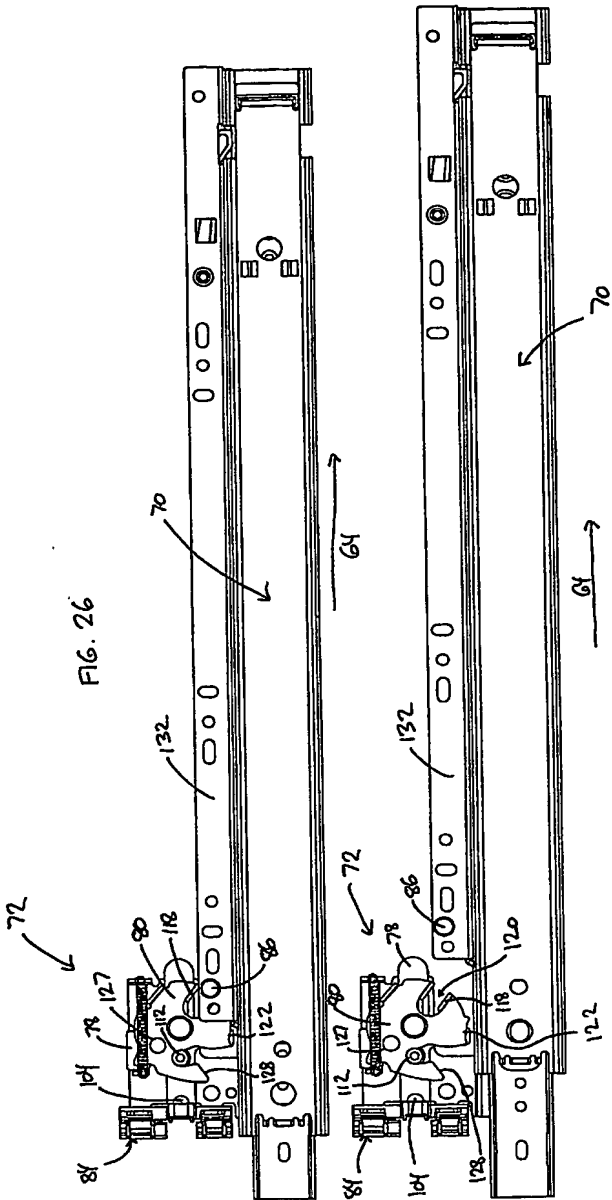
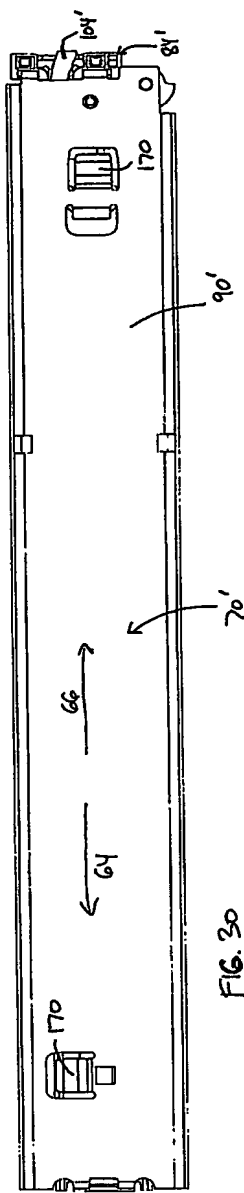
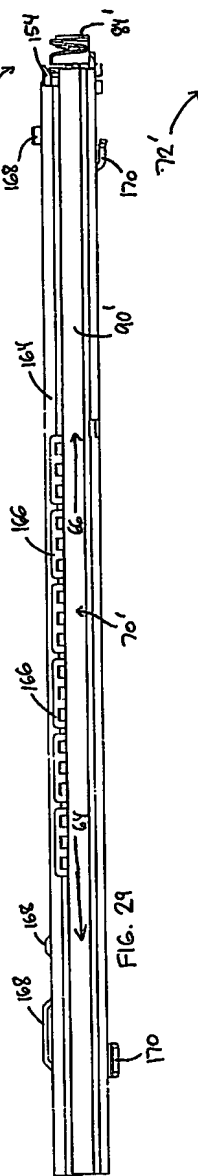
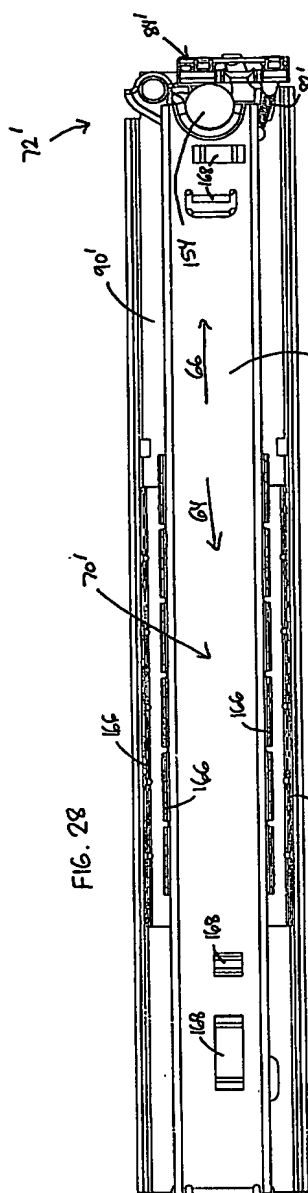


FIG. 26

FIG. 27



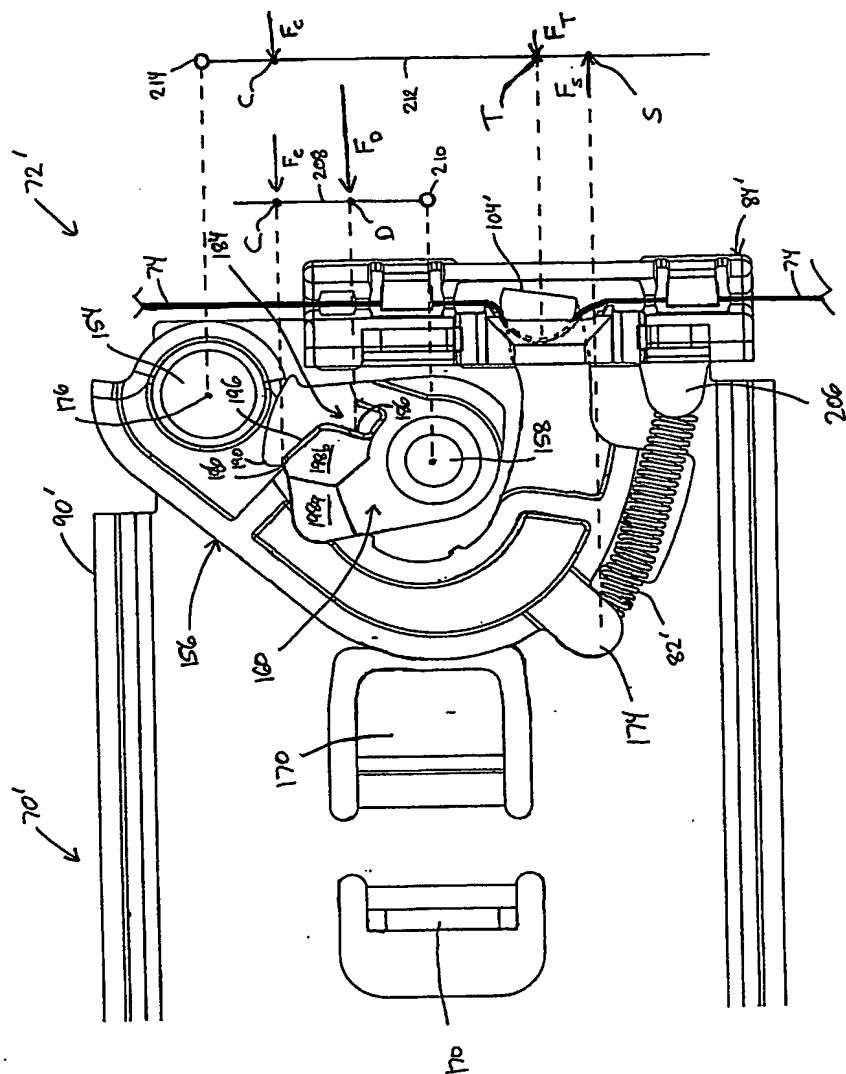


FIG. 31

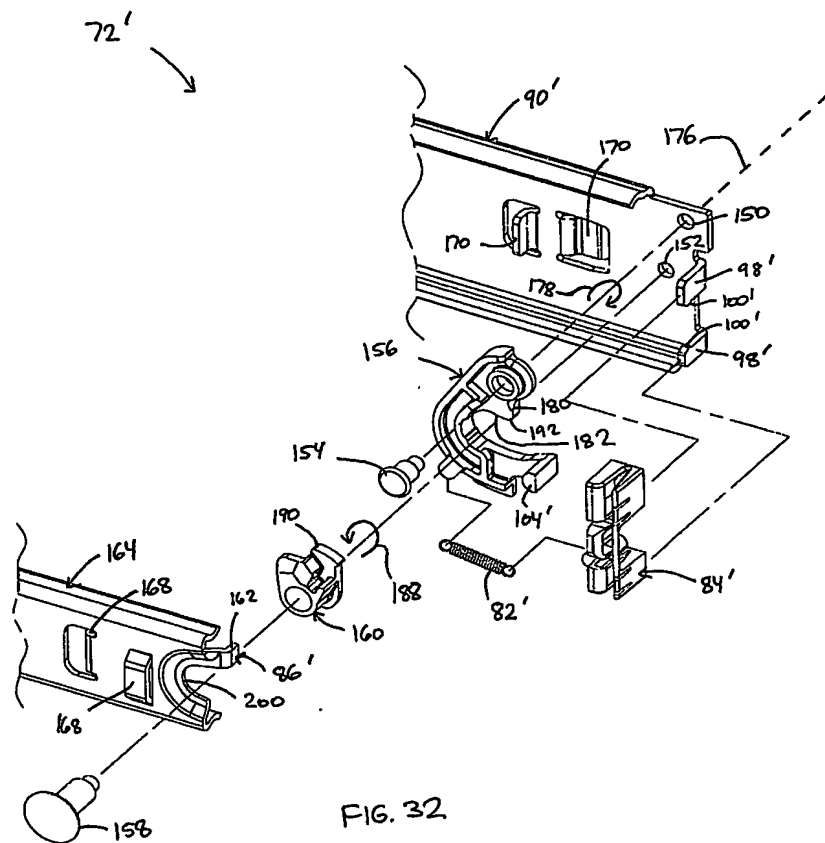
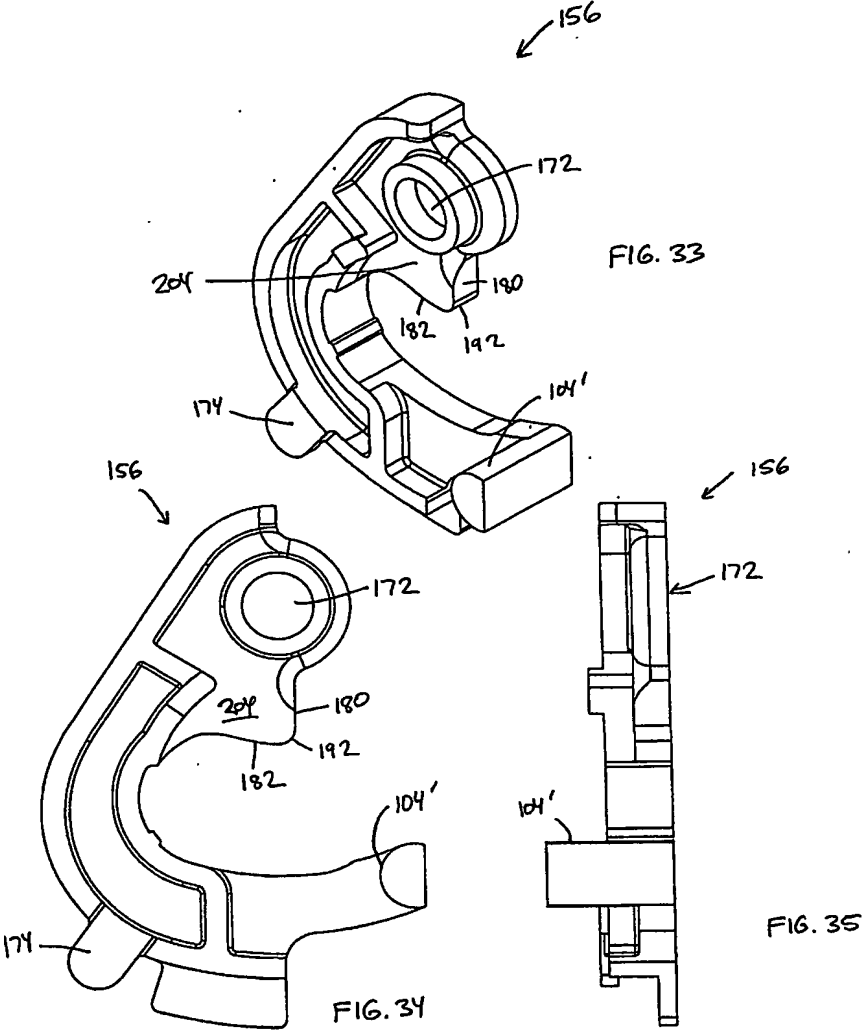
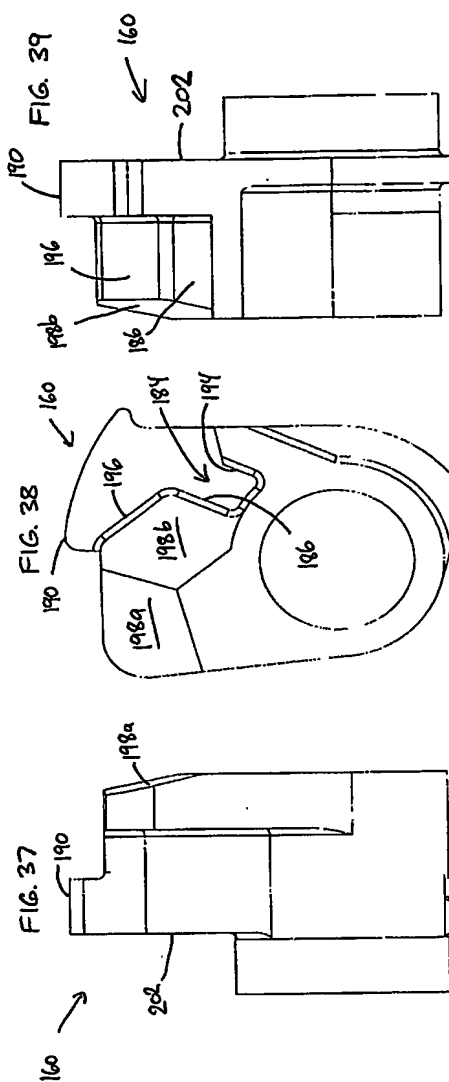
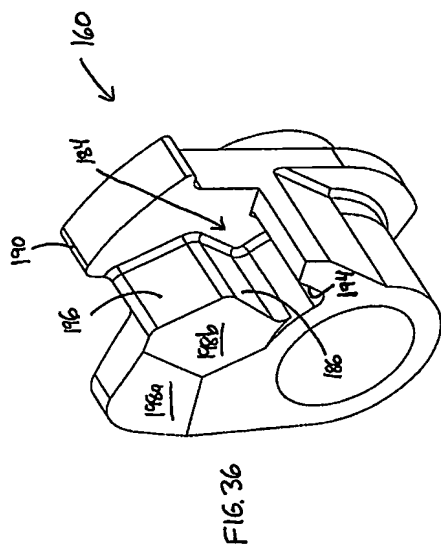
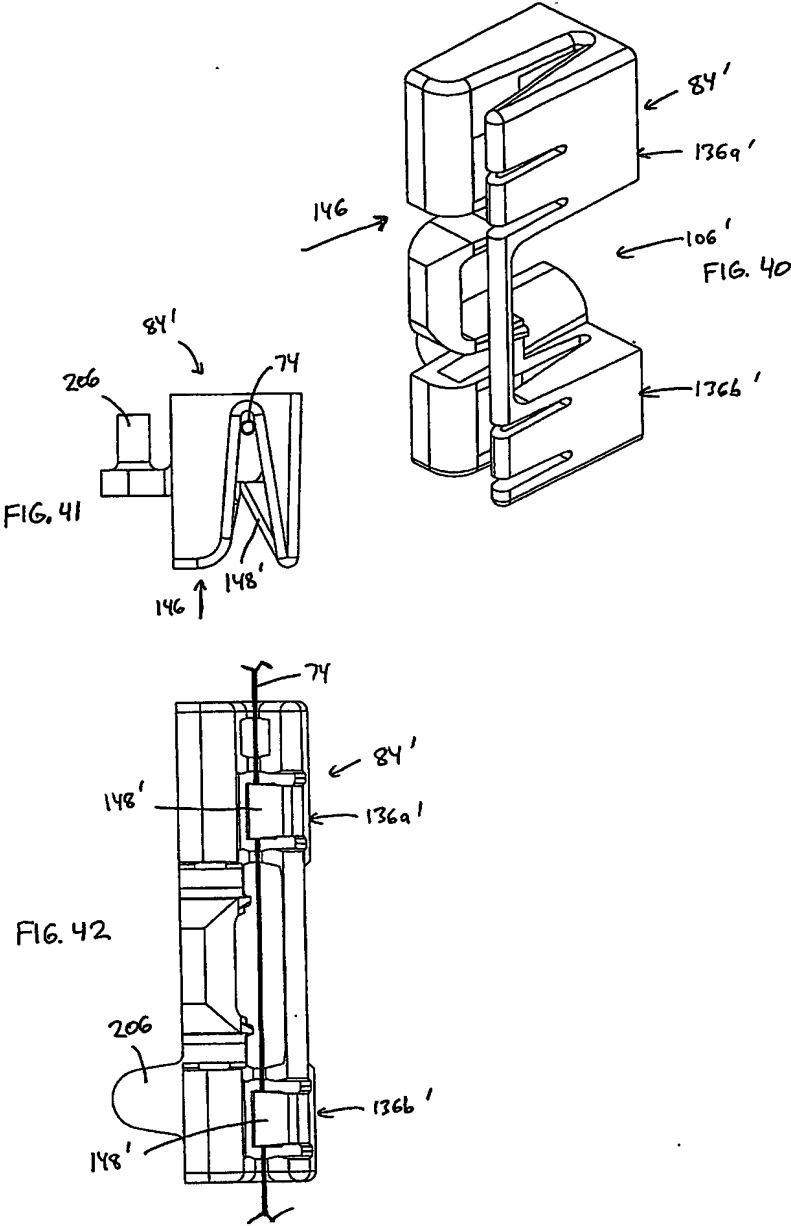


FIG. 32







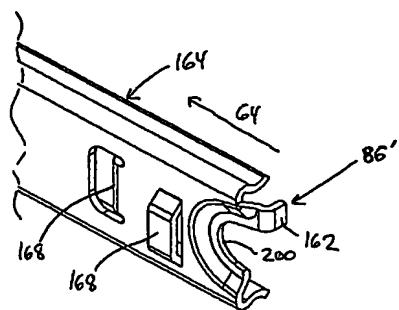


FIG. 43

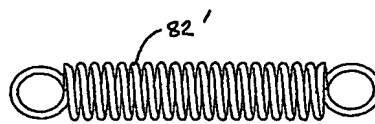


FIG. 44

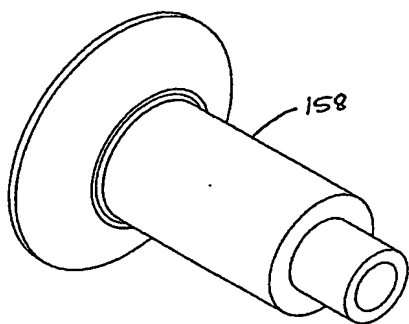


FIG. 45

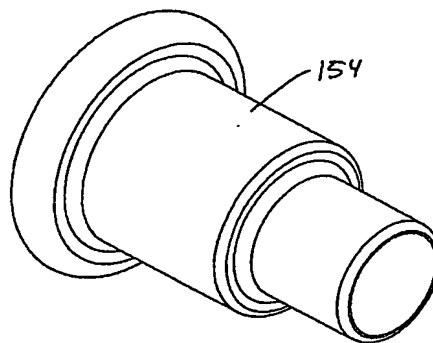
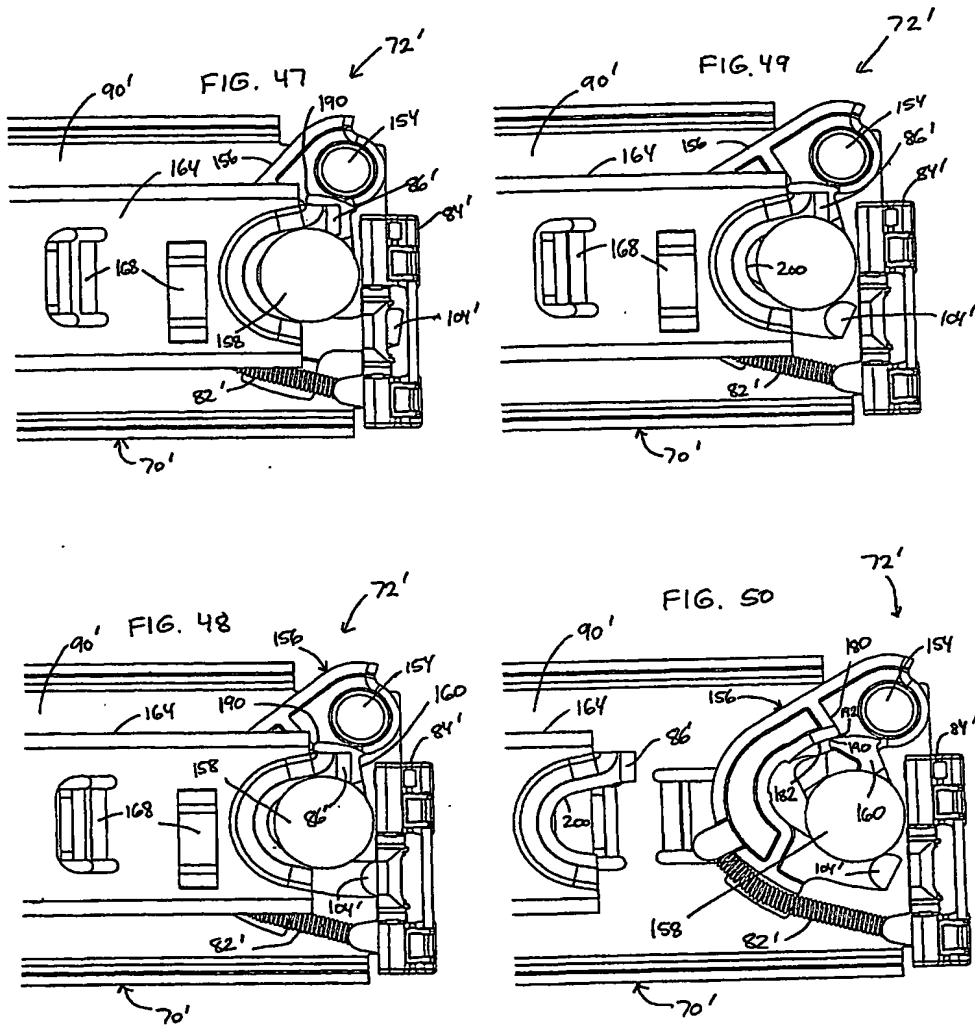
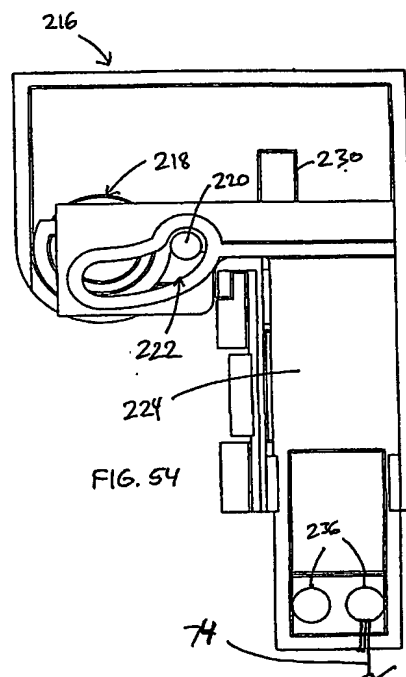
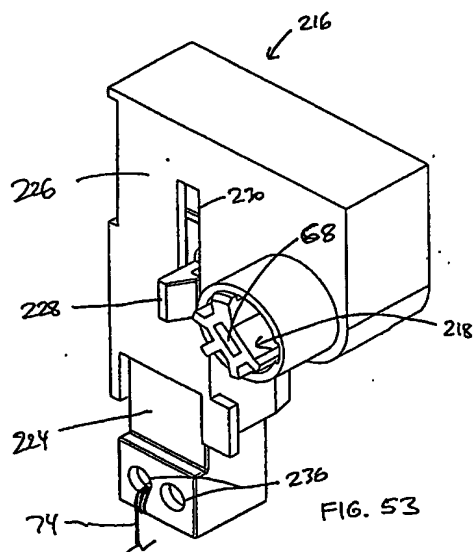
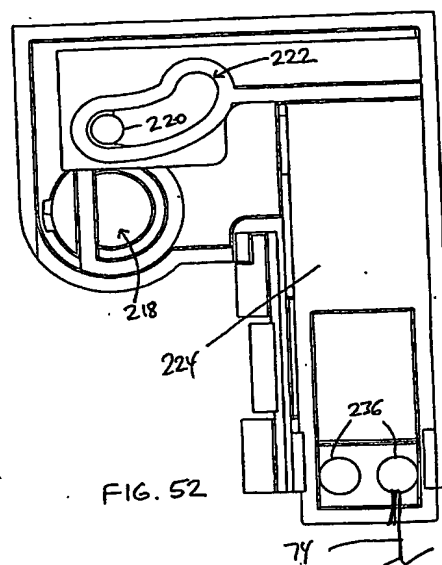
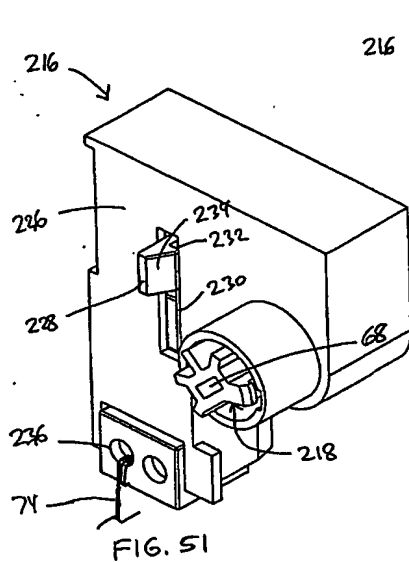
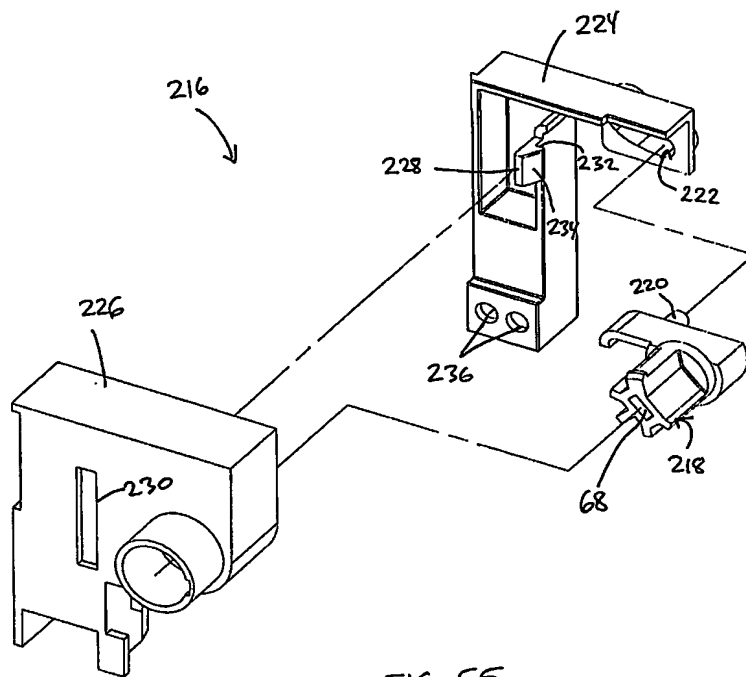
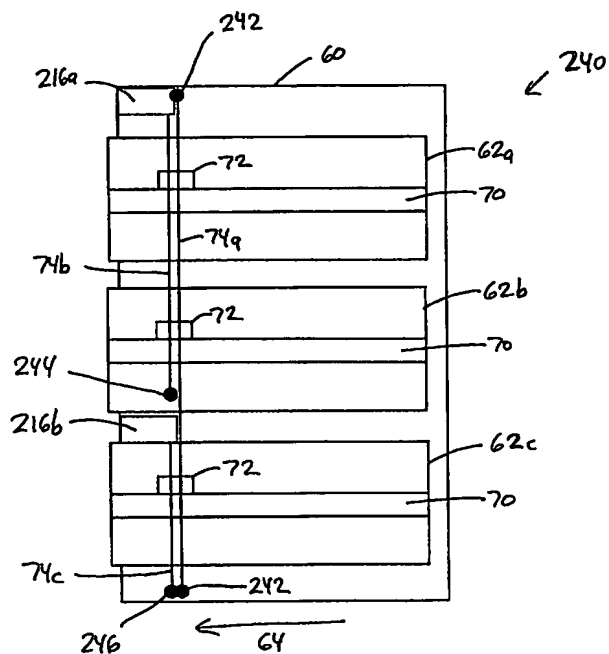


FIG. 46









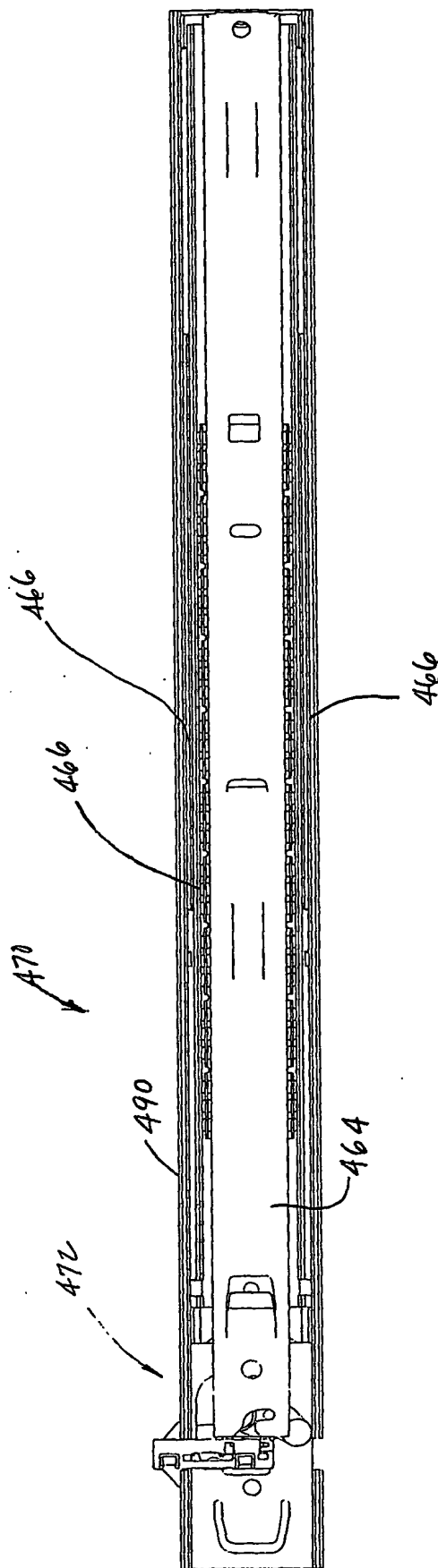


FIG. 57

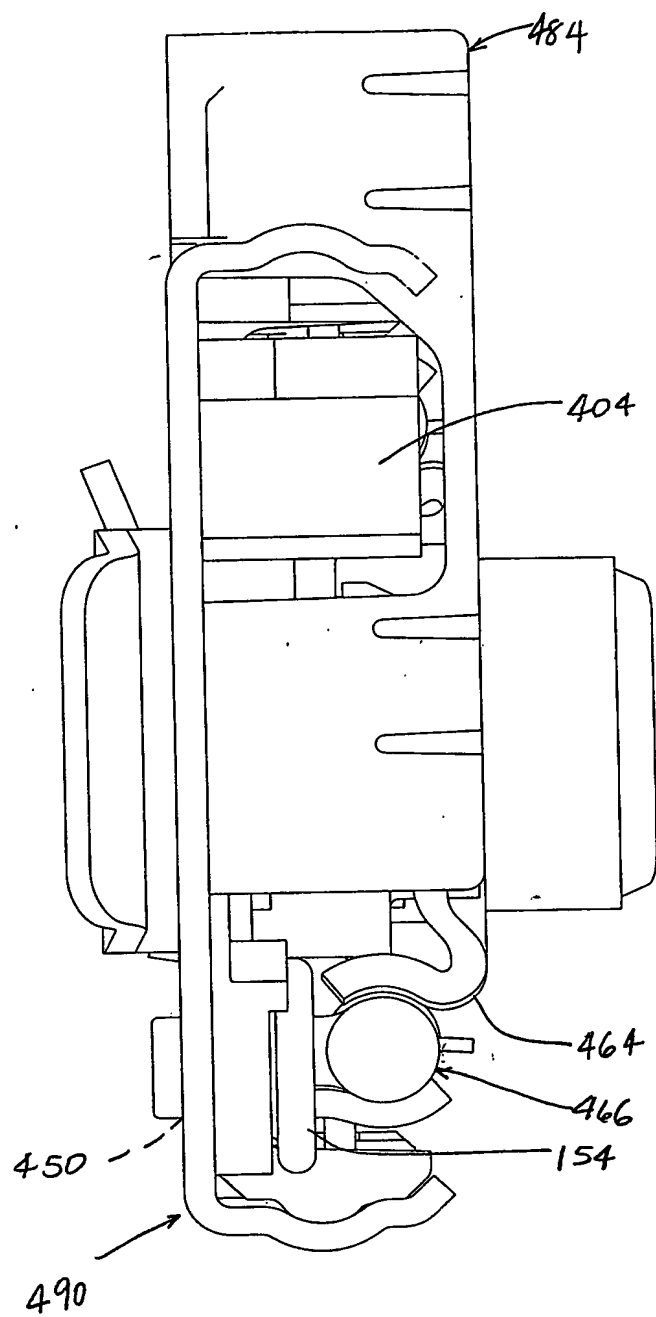
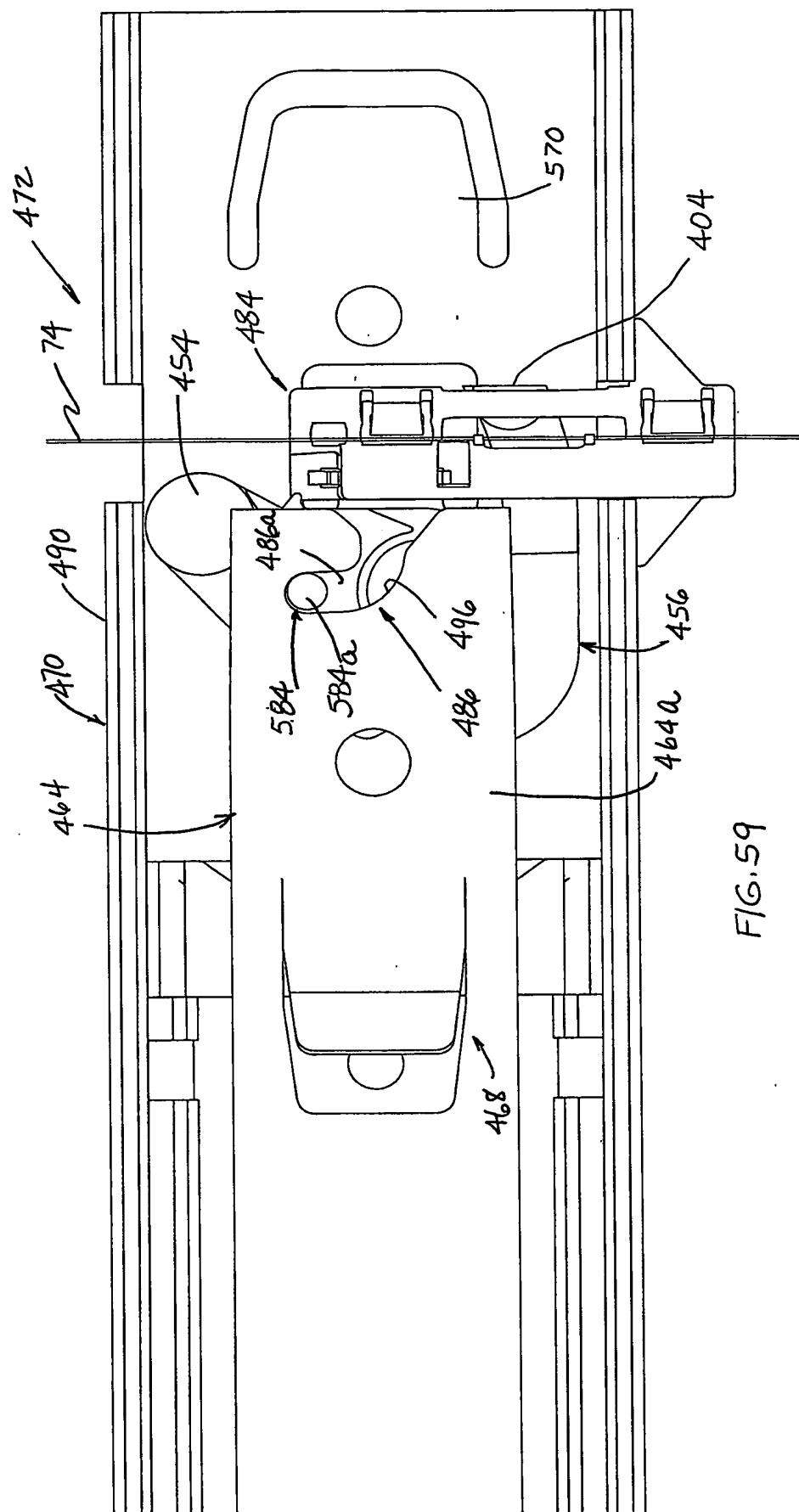
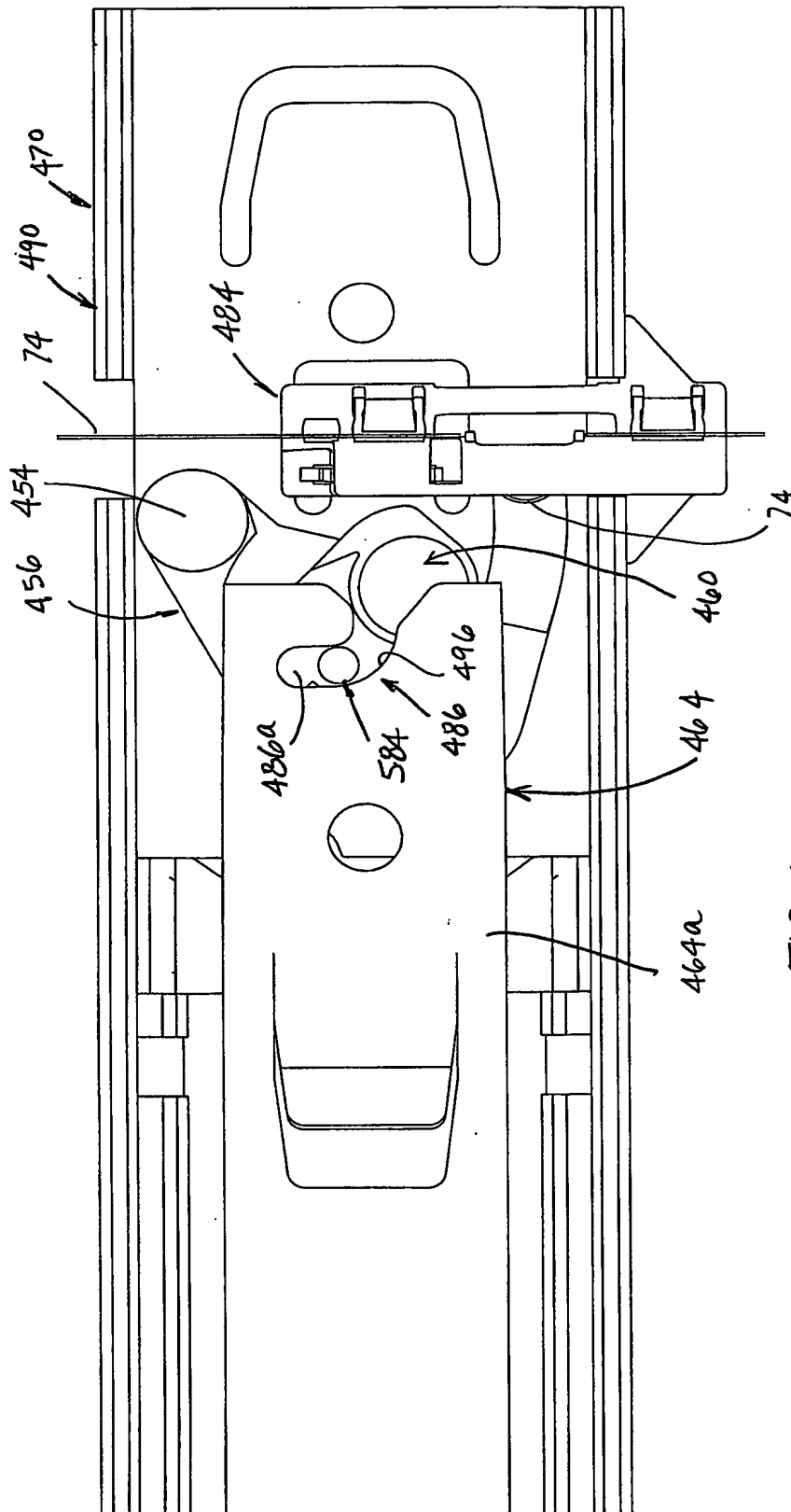


FIG. 58



F/G.59



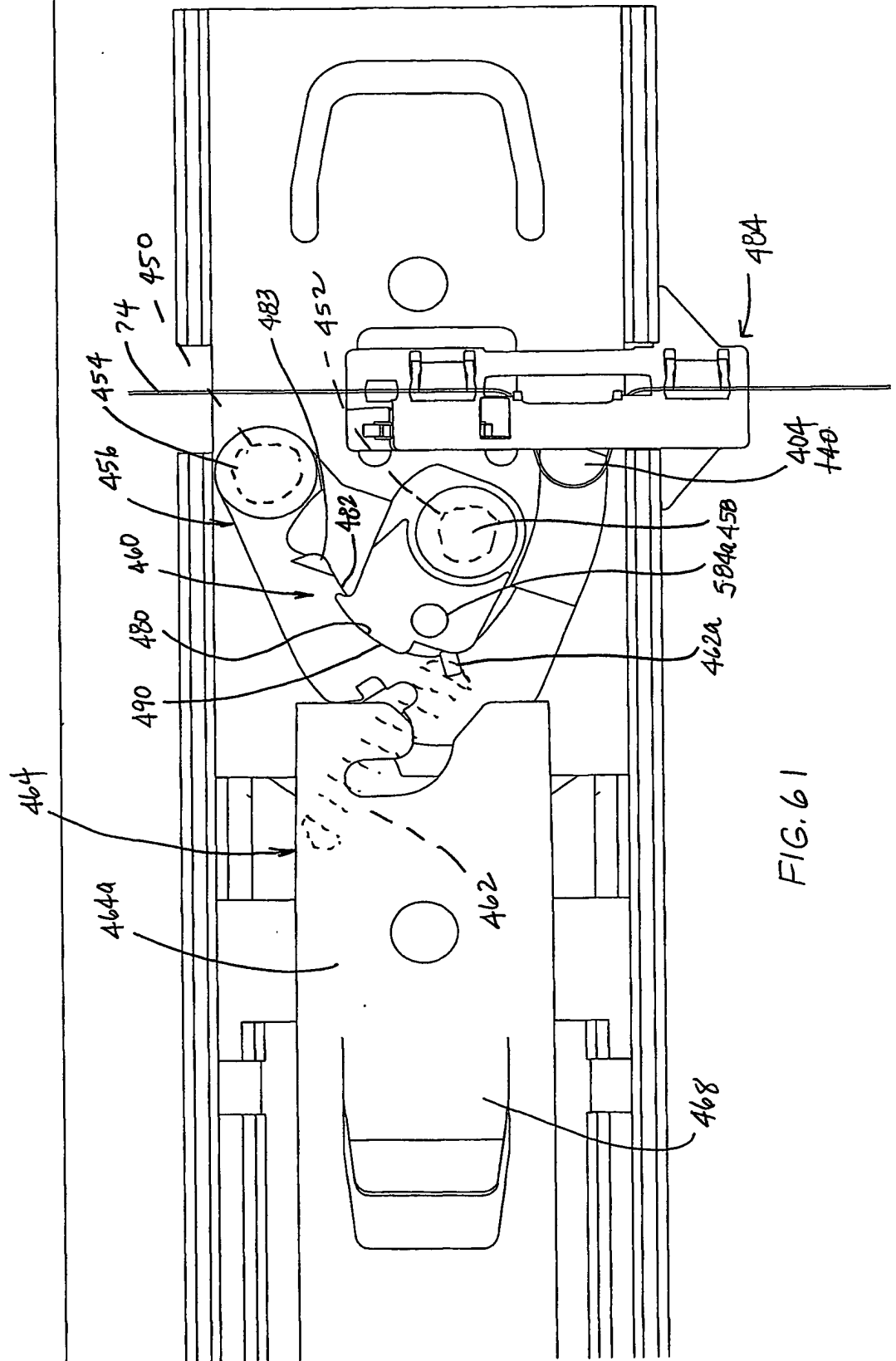


FIG. 61